

Im Folgenden betrachten wir nur die Näherung erster Ordnung (Born'sche Näherung),  $\psi_s \approx \psi^{(1)}$ . Damit findet man für das Übergangsmatrixelement:

$$\begin{aligned} S_{fi} &= \int d\vec{x} \psi_f^\dagger(x) \psi_s(x) \\ &= \delta_{fi} + \int d^4x' \int d\vec{x} \psi_f^\dagger(x) D(x-x') V(x') \psi_i(x') \\ &= \delta_{fi} + \int d^4x' \int d\vec{x} \bar{\psi}_f(x) \gamma^0 D(x-x') V(x') \psi_i(x') \\ &= \delta_{fi} - i \int d^4x' \bar{\psi}_f(x') V(x') \psi_i(x') \end{aligned}$$

wobei  $\gamma^0 \gamma^0 = 1$  und  $\bar{\psi} = \psi^\dagger \gamma^0$  und im letzten Schritt eine Eigenschaft des Dirac-propagator benutzt wurde (s.o.). Im Falle der QED ist die Störung gegeben durch

$$V(x') \psi(x') = q \gamma^\mu A_\mu(x') \psi(x') \quad (5.42)$$

so dass

$$S_{fi} = \delta_{fi} - i \int d^4x' q \bar{\psi}_f(x') \gamma^\mu \psi_i(x') A_\mu(x') \quad (5.43)$$

Der erste Term,  $\delta_{fi}$ , entspricht dabei einer Welle, die nicht gestreut wurde, und ist daher nicht weiter von Interesse. Der zweite Term beinhaltet

$$j^\mu = q \bar{\psi}_f \gamma^\mu \psi_i \quad (5.44)$$

Diese Form eines Stroms, der im Gegensatz zur früher definierten Form zwei Wellen mit unterschiedlichen Impulsen kombiniert, ist im Folgenden das zentrale Element der Feynmanregeln für Fermionen.

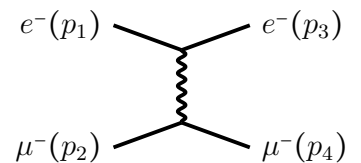
## 5.4 Matrixelement

Wir betrachten die Streuung zweier Fermionen aneinander, wobei das Übergangsmatrixelement als Funktion der vorgegebenen Impulse der einlaufenden Teilchen ( $p_1, p_2$ ) und der auslaufenden Teilchen ( $p_3, p_4$ ) berechnet werden soll. Die Übergangsmatrixelement in 1. Ordnung ergibt sich, wenn man das Photon-Feld berechnet, das aufgrund des Elektron-Stroms  $j_\nu(x')$  entsteht, es zum Ort  $x$  propagiert und dort auf den Strom des Muons  $j_\mu(x)$  wirken lässt. Da die Ströme aus ausgedehnten Wellenfunktionen bestehen integriert man dabei über alle Orts-Zeit Koordinaten  $x$  und  $x'$ .

Der Strom des Elektrons ist

$$j_e^\nu(x') = q_e \bar{\psi}_3(x') \gamma^\nu \psi_1(x') \quad (5.45)$$

wobei  $\psi_1$  die Wellenfunktion des einlaufenden Elektrons mit Impuls  $p_1$  bezeichnen soll, etc.. Das Photon-Feld dieses Stroms, berechnet



**Abb. 5.3**  
 $e^- \mu^-$  Streuung im  $t$ -Kanal

am Ort  $x$ , ergibt sich dann aus dem Photon-Propagator (Gl. 5.27) zu

$$A^\mu(x) = \int d^4x' D^{\mu\nu}(x-x') j_{e,\nu}(x') \quad (5.46)$$

Das Übergangsmatrixelement ergibt sich aus der Anwendung dieses Potentials auf den Myon-Strom,

$$S_{fi}^{(1)} = -iq_m \int d^4x \bar{\psi}_4(x) \gamma_\mu A^\mu(x) \psi_2(x) \quad (5.47)$$

Hier ist  $q_m$  die Ladung des Myons. In unendlicher Entfernung voneinander sind die ein- und auslaufenden Teilchen durch ebene Wellen gegeben,

$$\psi_1(x') = u_1 e^{-ip_1x'} \quad \psi_3(x') = u_3 e^{-ip_3x'} \quad (5.48)$$

$$\psi_2(x) = u_2 e^{-ip_2x} \quad \psi_4(x) = u_4 e^{-ip_4x} \quad (5.49)$$

Setzt man dies zusammen mit der Fourier-Darstellung des Propagators des Photons

$$\begin{aligned} D^{\mu\nu}(x-x') &= \frac{1}{(2\pi)^4} \int d^4q \tilde{D}^{\mu\nu}(q) e^{-iq(x-x')} \\ &= \frac{1}{(2\pi)^4} \int d^4q \frac{-g^{\mu\nu}}{q^2 + i\epsilon} e^{-iq(x-x')} \end{aligned} \quad (5.50)$$

in die Gleichung für das Übergangsmatrixelement ein, so folgt

$$\begin{aligned} &-S_{fi}^{(1)} \\ &= iq_m \int d^4x \bar{\psi}_4(x) \gamma_\mu A^\mu(x) \psi_2(x) \\ &= \frac{iq_m}{(2\pi)^4} \int d^4x \bar{u}_4 e^{ip_4x} \gamma_\mu \int d^4x' \int d^4q \frac{-g^{\mu\nu}}{q^2 + i\epsilon} e^{-iq(x-x')} \\ &\quad \left( q_e \bar{u}_3 e^{ip_3x'} \gamma_\nu u_1 e^{-ip_1x'} \right) u_2 e^{-ip_2x} \\ &= \frac{i}{(2\pi)^4} \int d^4q \int d^4x e^{i(p_4-q-p_2)x} \int d^4x' e^{i(p_3+q-p_1)x'} q_m \bar{u}_4 \gamma_\mu u_2 \frac{-g^{\mu\nu}}{q^2 + i\epsilon} q_e \bar{u}_3 \gamma_\nu u_1 \\ &= i(2\pi)^4 \int d^4q \delta^4(p_4 - q - p_2) \delta^4(p_3 + q - p_1) q_m \bar{u}_4 \gamma_\mu u_2 \cdot \frac{-g^{\mu\nu}}{q^2 + i\epsilon} \cdot q_e \bar{u}_3 \gamma_\nu u_1. \end{aligned}$$

Hierbei wurden die  $e$ -Funktionen so zusammengefasst, dass die Integrale über  $x, x'$  jeweils  $\delta$  Funktionen ergeben. Da  $q$  der 4-er Impuls des Photons ist bedeutet die Integration über  $d^4q$ , dass alle möglichen Impulse des Photons berücksichtigt werden. Allerdings bedeuten die beiden  $\delta$ -Funktionen, dass Energie und Impulserhaltung an jedem Vertex gilt, und damit auch für die Reaktion insgesamt,

$$\boxed{p_3 - p_1 + q = 0, \quad p_4 - p_2 - q = 0, \quad p_1 + p_2 = p_3 + p_4} \quad (5.51)$$

Daher kann der 4-er Impulsübertrag  $q = p_1 - p_3 = p_4 - p_2$  nur einen Wert annehmen, so dass die Integration über  $d^4q$  das Resultat ergibt

$$\begin{aligned} S_{fi}^{(1)} &= -i(2\pi)^4 \delta^4(p_1 + p_2 - p_3 - p_4) \\ &\quad \cdot q_m \bar{u}_4 \gamma_\mu u_2 \cdot \frac{-g^{\mu\nu}}{q^2 + i\epsilon} \cdot q_e \bar{u}_3 \gamma_\nu u_1. \end{aligned} \quad (5.52)$$

Übergangsmatrixelement  $S_{fi}^{(1)}$  und Matrixelement  $\mathcal{M}_{fi}$  hängen jetzt wie folgt zusammen:

$$\boxed{S_{fi}^{(1)} = -i (2\pi)^4 \delta^4(p_1 + p_2 - p_3 - p_4) \mathcal{M}_{fi}} \quad (5.53)$$

$$\boxed{-i\mathcal{M}_{fi} = iq_m \bar{u}_4 \gamma_\mu u_2 \cdot \frac{-ig^{\mu\nu}}{q^2 + i\epsilon} \cdot iq_e \bar{u}_3 \gamma_\nu u_1.} \quad (5.54)$$

## 5.5 Feynman-Regeln

Der hier gewonnene Ausdruck des Matrixelements  $\mathcal{M}_{fi}$  für den Prozess

$$e^-(p_1) \mu^-(p_2) \rightarrow e^-(p_3) \mu^-(p_4)$$

lässt sich graphisch als Feynman-Diagramm darstellen. Offenbar entspricht jeder graphische Teil einem Ausdruck des Matrixelements. Andererseits kann man bereits an der Lagrange-Dichte die existierenden Teilchen und ihre Wechselwirkungen ablesen und so die erlaubten Feynmangraphen konstruieren. Jedem Feynman-Graph kann man dann mit folgenden Regeln ein Matrixelement zuschreiben, ohne die obige detaillierte Rechnung durchführen zu müssen:

- Externe Fermion-Linien erhalten die entsprechenden Spinoren  $u$  ( $\bar{v}$ ) für einlaufende und  $\bar{u}$  ( $v$ ) für auslaufende Teilchen (Antiteilchen).
- Für jeden Photon-Vertex führt man einen Vertexfaktor  $iq_{el}\gamma^\mu$  zwischen den Spinoren ein, so dass sich ein Vektorstrom mit der elektrischen Ladung  $q_{el}$  ergibt, z.B.  $iq_{el}\bar{u}\gamma^\mu u$ . Die elektromagnetische Kopplung ist z.B. für ein Elektron die Elementarladung,  $q = -e$ , die mit der Feinstrukturkonstanten über

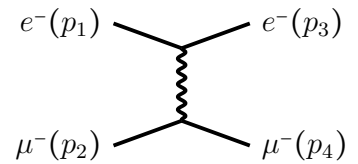
$$\alpha_{em} = \frac{e^2}{4\pi} \approx 1/137,036 \quad (5.55)$$

zusammenhängt, so dass

$$e \approx 0,3 \quad (5.56)$$

im hier verwendeten Einheitensystem.

- Interne Linien werden durch die entsprechenden Propagatoren ausgedrückt, also z.B.  $\frac{-ig_{\mu\nu}}{q^2}$  für ein Photon mit 4-er Impuls  $q$ .
- Es gilt 4-er Impulserhaltung an jedem Vertex.
- Matrixelemente mit identischen Anfangs- und Endzuständen müssen addiert werden.
- Bei Schleifen muß über alle möglichen Impulse der internen Linien integriert werden.



**Abb. 5.4**  
 $e^- \mu^-$  Streuung im  $t$ -Kanal

<b>Externe Linien</b>	
Spin-0	1
Spin-1/2 fermion (ein/auslaufend)	$u, \bar{u}$
Spin-1/2 antifermion (ein/auslaufend)	$\bar{v}, v$
Spin-1 Photon (ein/auslaufend)	$\epsilon_\mu, \epsilon_\mu^*$
<b>Interne Linien (Impuls q)</b>	
Spin-0	$\frac{i}{q^2 - m^2}$
Spin-1/2	$\frac{i(\gamma^\mu q_\mu + m)}{q^2 - m^2}$
Spin-1, masselos	$\frac{-ig_{\mu\nu}}{q^2}$
Spin-1, Masse m	$\frac{-i(g_{\mu\nu} - q_\mu q_\nu / m^2)}{q^2 - m^2}$
<b>Vertex-Faktoren</b>	
Photon – (Spin-0, Ladung q)	$-iq(p + p')^\mu$
Photon – (Spin-1/2, Ladung q)	$-iq\gamma^\mu$

**Tabelle 5.1** Feynman-Regeln für das Matrixelement  $-i\mathcal{M}$ .  
 Schleifen: Integral  $\int d^4k/(2\pi)^4$  über den Impuls  $k^\mu$  in der Schleife, mit einem zusätzlichen Faktor  $-1$  bei Fermionen.  
 Identische Fermion: Faktor  $-1$  wenn sich Diagramme nur durch  $e^- \leftrightarrow e^-$  unterscheiden.

Fälle mit anderen externen oder internen Teilchen sind in der folgenden Tabelle zusammengefasst. Die Faktoren  $-1, i, \dots$ , sind teilweise Konvention, aber bei Interferenzen und Diagrammen höherer Ordnung von Bedeutung.